

# НАУЧНО-ТЕХНИЧЕСКИЕ ПРОБЛЕМЫ ГОРЕНИЯ И ВЗРЫВА

№ 1

1965

А. Ф. Беляев, Ю. А. Кондрашков, Г. В. Лукашеня,  
А. К. Парфенов, С. А. Цыганков  
(Москва)

## О ФАКЕЛЬНОМ ГОРЕНИИ МОДЕЛЬНЫХ СМЕСЕЙ ОКИСЛИТЕЛЯ И ГОРЮЧЕГО

Зависимость скорости горения взрывчатых веществ и порохов от давления принято выражать формулой  $u = bp^v$ . У многих простейших двухкомпонентных смесей окислителя и горючего в интервале давлений 1—100 ата  $v \approx 0,3$ —0,7. Вместе с тем показано [1, 2], что при давлениях меньших атмосферного зависимость  $u(p)$  смесей может быть простой линейной ( $v \approx 1$ ).

Авторами были измерены скорости горения некоторых смесевых систем при давлениях ниже атмосферного; опыты проводились под стеклянным колоколом. Компоненты смесей интенсивно измельчались (до 10—20 мк), тщательно смешивались и запрессовывались до относительной плотности, составлявшей  $\sim 0,98$  от теоретической максимальной плотности системы.

Результаты опытов приведены на рис. 1. Здесь показана зависимость скорости горения от давления для: 1 — стехиометрической смеси перхлората аммония и тротила; 2 — стехиометрической смеси перхлората калия и тротила; 3 — стехиометрической смеси перхлората аммония и битума; 4 — стехиометрической смеси перхлората аммония и парофуральдегида [2]; 5 — системы из перхлората аммония (80%) и связки (20%) из полистирола и полизэфира [1]. Эти системы различны по составу и структуре. Использованы разные окислители, разное горючее, системы прессованные и с полимерной связкой. Тем не менее для всех этих систем при давлениях меньших атмосферного зависимость  $u(p)$  является простой линейной  $u = bp$ . Отметим, что смеси перхлората аммония с тротилом и перхлората калия с тротилом при давлениях ниже атмосферного имеют весьма близкие

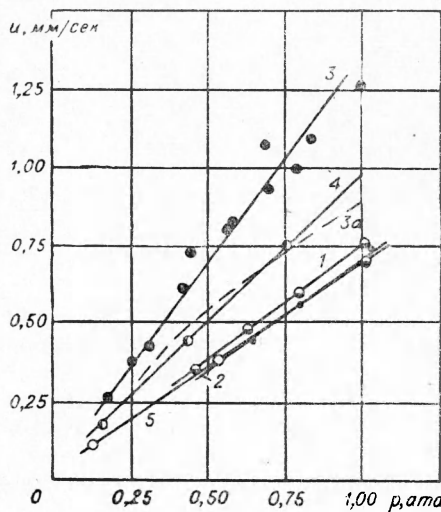


Рис. 1.

абсолютные значения скорости горения, несмотря на существенное отличие состояния поверхностного слоя конденсированной фазы (перхлорат калия плавится и образует жидкий слой; перхлорат аммония не плавится, а сублимирует или разлагается). Кривая 3а — это  $u(p)$  системы, аналогичной 3 (с битумом), но с частицами окислителя 250 мк вместо 10—20 мк. Зависимость смеси слабее линейной ( $u \sim p^{0.7}$ ). При использовании в качестве горючего углерода зависимость  $u(p)$  также слабее линейной [2].

Таким образом, простую линейную зависимость при давлениях меньших атмосферного дают системы, компоненты которых интенсивно измельчены и тщательно смешаны; горючее должно быть способным (хотя бы при высоких температурах) к газификации путем разложения, пиролиза, испарения.

Отметим теперь, что при давлениях в сотни атмосфер  $u(p)$  смесевых систем также может быть близка к линейной. Такой результат, в частности, был получен [3] при проведении опытов в устройстве, представляющем собой разновидность манометрической бомбы с записью давления пьезоэлектрическим датчиком.

На рис. 2 дано  $u(p)$  (в интервале давлений 500—1500 ата) для стехиометрических смесей: 1 — перхлората аммония и тротила; 2 — перхлората калия и тротила. Разброс точек велик, но несомненно, что зависимость и для 1 и для 2 является сильной ( $v=0,9-1,0$ ). Приближенно можно положить  $u=b'p$ , причем  $b' < b$  ( $b/b' \sim 7$  для смесей с перхлоратом аммония и  $\sim 5,5$  — с перхлоратом калия). Также близка к линейной (в интервале давлений 300—1000 ата)  $u(p)$  смеси перхлората

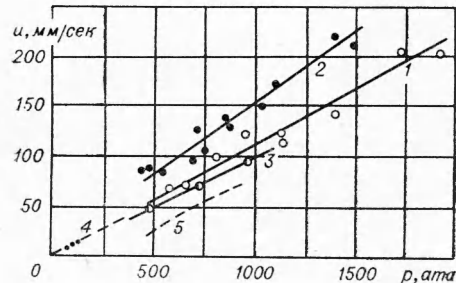


Рис. 2.

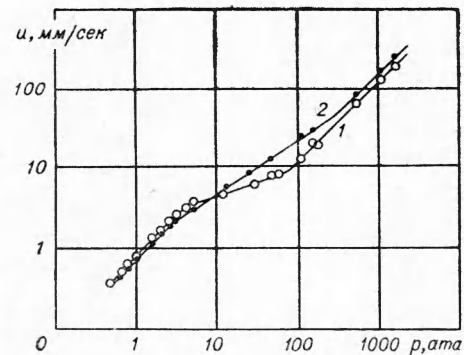


Рис. 3.

калия с битумом. Данные А. П. Глазковой и И. А. Терешкина [4] (прямая 3), полученные для запрессованной смеси перхлората аммония с парафином в бомбе постоянного давления, хорошо укладываются в простой линейный закон.

На рис. 3 скорости горения и давления даны в логарифмическом масштабе, использование которого позволяет отложить на одном графике данные малых ( $p < 1$ ) и больших ( $p > 100$ ) давлений. Здесь показано  $u(p)$  для смесей: 1 — тротила с перхлоратом аммония; 2 — тротила с перхлоратом калия. При малом и большом давлениях угол наклона прямых  $\sim 45^\circ$ , а это значит, что  $v=1$ . Значения скоростей горения в большом диапазоне давлений ( $\sim 4$  порядка) определялись в разное время и разными методами. Данные при  $p > 500$  ата получены в бомбе переменного давления с пьезодатчиками (на график нанесены усреднен-

ные точки); данные в интервале 5—150 *ата* — в стандартной бомбе постоянного давления (с пьезодатчиками); данные в интервале 1—5 *ата* — в бомбе постоянного давления с ресивером; данные при  $p < 1$  *ата* — с использованием крупных колоколов и ресивера. Тем не менее для каждой системы точки хорошо увязываются и укладываются в свою определенную закономерность.

Из графика непосредственно следует, что линейный закон «малого давления» сохраняется до 2,5—3,0 *ата*, а линейный закон «большого давления» начинается от 100 *ата* (смесь с перхлоратом аммония) и 250 *ата* (смесь с перхлоратом калия). Весьма важным непосредственным выводом является то, что в интервале давлений от 2,5—3,0 до 100—250 *ата* ( $v < 1$ ) происходит постепенный переход от линейного закона «малого давления» к линейному закону «большого давления». При этом у смеси с перхлоратом аммония (1) переход совершается быстрее (на меньшем интервале давлений). У смеси (1)  $v = 0,35$  и у смеси (2)  $v \approx 0,65$ .

Остановимся на некоторых вопросах механизма горения, которые могут объяснить полученные результаты. Отмечалось [5, 6], что если компоненты смеси интенсивно измельчены, тщательно смешаны и способны к газификации, а горение идет при низком давлении, то продукты распада окислителя и горючего успевают полностью смешаться до момента развития реакции в образовавшейся газовой смеси. Процесс идет в кинетическом режиме, фронт горения близок к плоскому и  $u(p)$  выражается той же зависимостью, что и для однородных испаряющихся веществ. Таким образом, линейная зависимость при малых давлениях находит простое и естественное объяснение. Что касается линейного закона

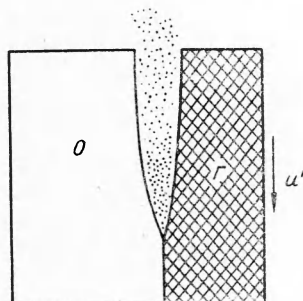


Рис. 4.

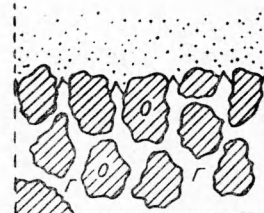


Рис. 5.

при больших давлениях, то его следует объяснить с учетом свойств интересного вида горения, описанного Н. Н. Бахманом [7, 8].

Если сложить пластину окислителя (O) и пластину горючего ( $\Gamma$ ), то при поджигании в зоне контакта возникает факел пламени, нижняя часть которого находится в образовавшейся клиновидной (асимметричной) выемке (рис. 4). «Носик» факела распространяется со скоростью  $u'$  вдоль контакта, причем эта скорость задается процессом у самого «носика». Выше над «носиком», где выемка расширяется, реакция продуктов распада окислителя и горючего лимитируется диффузией. (При достаточно большом расстоянии между окислителем и горючим реакция вообще прекращается, и удаленные слои окислителя и горючего остаются несгоревшими.) Однако в «носике» факела окислитель и горючее контактируют, и реакция протекает в кинетическом режиме [6, 11]. Вместе с тем при наличии факела условия существенно отличаются от условий плоского фронта. Из-за значительных теплопотерь в условиях «носика» должны снижаться температура и скорость перемещения «носика»

факела  $u' < u$ , где  $u$  — скорость горения в условиях образования плоского фронта, когда продукты распада окислителя и горючего успевают полностью смешаться до реакции. Весьма важным является факт линейной зависимости  $u' = b''p$ , установленной для случая контакта перхлората калия с горючим, способным к газификации [7].

На рис. 2 (прямая 4 при  $p < 150 \text{ ата}$ ) показана  $u'$  для системы  $\text{KClO}_4$  — плексиглас [7] (условия опыта аналогичны описанным для рис. 4). Экстраполяция этих данных на высокие давления дает значения скоростей, в общем близкие к установленным нами. В работе [4] приведены данные об  $u(p)$  перхлората аммония как в инертных, так и горючих оболочках. Наибольшая скорость была получена в горючей оболочке из плексигласа толщиной  $\sim 1 \text{ мм}$ . В этих условиях, по существу, возникает граничное горение, рассмотренное Н. Н. Бахманом, в виде кольцевого факела. Результаты работы [4] перенесены на график рис. 2 в виде кривой 5, которая (особенно при наивысших давлениях) близка к кривым 1 и 3.

Следует добавить, что если при низких давлениях наблюдаемый фронт горения действительно является плоским, то при повышенных он становится неоднородным и приобретает «факельную» структуру.

У смесевого топлива при высоких давлениях фронт горения имеет «многофакельную» структуру [8], схематически показанную на рис. 5 ( $O$  — частицы окислителя,  $G$  — прослойки горючего). Скорость распространения пламени определяется средней скоростью распространения «носиков». Следовательно, при высоких давлениях имеем дело не со скоростью распространения плоского пламени  $u$ , а преимущественно со скоростью распространения пограничного горения  $u'$ . «Многофакельный» фронт должен несколько отличаться от случая одиночного факела. С одной стороны, при переходе от одного зерна окислителя к другому пламя должно распространяться через перемычку горючего, с другой стороны, отдельные «носики» должны взаимодействовать и ускорять друг друга; в частности, должны взаимодействовать «носики», расположенные по сторонам горючих перемычек, поскольку размер последних меньше, чем размер зерен окислителя. Возможно, поэтому при одинаковых давлениях скорость распространения «многофакельного» горения немного (примерно в 1,5 раза) выше «однофакельного» граничного горения.

При давлениях выше 1000—2000  $\text{ат}$  характер  $u(p)$  снова меняется в сторону ослабления этой зависимости. Объясняется это тем [8], что по мере повышения давления угол «носика» факела (см. рис. 4) уменьшается. По-видимому, когда это уменьшение достигает некоторого критического значения, реакция в «носике» уже не может обеспечить увеличение скорости горения при дальнейшем увеличении давления. Дальнейший рост скорости происходит лишь при воздействии диффузионной зоны, примыкающей к «носику». Поскольку реакция, идущая в диффузионном режиме, относительно слабо зависит от давления, то это и дает слабую зависимость скорости горения от давления при весьма высоких давлениях.

Б. В. Новожилов [9] искал переход от кинетического режима к диффузионному при давлениях в несколько атмосфер, однако в работе совершенно не учитывалось возникновение «факельного» горения, которое обеспечивает кинетический режим (правда, в специфической форме граничного горения) даже при весьма высоких давлениях. Действительный переход на диффузионный режим с характерной для него слабой зависимостью от давления, по-видимому, происходит лишь при давлениях больших 1000—2000  $\text{ата}$ .

Суммируя изложенное выше, можно сделать вывод, что в случае простейшей смесевой двухкомпонентной системы окислитель — горючее можно отметить наличие четырех областей с разным законом  $u(p)$ . Поэтому совершенно неверно использование одной универсальной зависимости  $u(p)$  при всех давлениях, хотя бы и в виде усложненного двухчлена  $u = A + bp^v$  с тремя параметрами.

Принципиальная схема изменения зависимости  $u(p)$  смесевой системы дана на рис. 6 (сплошная линия). График показывает только качественное наличие областей без соблюдения масштаба. Предполагается, что компоненты топлива достаточно интенсивно измельчены и способны газифицироваться.

Область  $A$  — это область плоского фронта пламени и линейной зависимости при малом давлении  $u = bp$  ( $v=1$ ). Она начинается от давления, при котором становится возможным горение, и может простираться до давления в несколько атмосфер.

Область  $B$  — это область постепенного перехода от плоского фронта ( $A$ ) к факельному фронту ( $B$ ); в этой области, лежащей в интервале от нескольких атмосфер до 100—200 ата,  $u = pb^v$ ,  $v < 1$ .

Область  $B$  — это область факельного фронта горения и линейной зависимости  $u(p)$  при большом давлении (в интервале от 100—200 до 1000—1500 ата)  $u = b'p$  ( $b' < b$ ).

Область  $\Gamma$  — это область при давлениях выше 1000—1500 ата, где скорость горения лимитируется скоростью диффузии в факелах; зависимость  $u(p)$  слабая ( $u = bp^v$ ,  $v < 0,3—0,4$ ). Пунктиром на рис. 6 показана  $u(p)$  для однородных испаряющихся при горении ВВ (например, тротил или тэн [3]). В этом случае плоский фронт горения и линейный закон «низкого давления» сохраняются до наивысших из применяемых давлений при условии сохранения послойного горения, что обеспечивается высокой плотностью заряда. При наивысших давлениях в несколько тысяч атмосфер зависимость  $u(p)$  однородных испаряющихся систем и систем смесевых резко различается.

Указанная схема «областей» для простейшей двухкомпонентной системы является «демонстрационной». Она может изменяться при изменении условий и физического состояния. Так, например, приведенная схема предполагает, что частицы компонент смеси порядка 10—20 мк. Если частицы увеличивать (на порядок и более), то область  $A$  исчезает (при самых низких давлениях фронт горения уже не будет плоским), интервал давлений  $B$  смеется, значение  $v$  может измениться. Некоторые изменения могут произойти и в области  $B$ . Существенно может повлиять изменение других характеристик системы, и в частности свойств компонент.

Приведенные опыты (особенно в широком диапазоне давлений) были выполнены с тротилом в качестве горючего; он испаряется при горении и легко газифицируется. Если горючее будет нелетучим и трудно газифицирующимся, то указанные закономерности и «области» могут существенно измениться. Не исключено, что область  $A$  вообще исчезнет, хотя она, как было показано, зафиксирована у нелетучей и трудно газифицирующейся полимерной системы из полистирола и полиэфира. В связи с изменением зависимости  $u(p)$  при граничном горении область  $B$  может также существенно измениться.

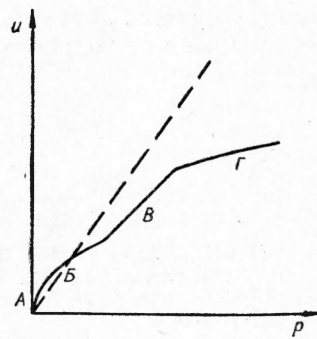


Рис. 6.

Для всех систем при повышенных давлениях следует считаться с возникновением факельного фронта пламени, хотя, возможно, более сложного, чем данная в настоящей статье примитивная схема, и соответственно с более сложным законом  $u(p)$ . Так, например, не учитывалось явление диспергирования [10], роль которого при возникновении факельного фронта пламени существенна, но нуждается в детальном и глубоком изучении. Далее необходимо учитывать, что сам вид зависимости  $u(p)$  для конкретной системы зависит от интервала давления, поскольку с изменением давления может существенно измениться характер фронта горения. При этом с повышением давления зависимость  $u(p)$  может не только ослабляться, но и усиливаться.

Поступила в редакцию  
2/XI 1964

#### ЛИТЕРАТУРА

1. H. Silla. ARS — I, 1961, **31**, 9, 1277.
2. E. A. Arden, I. Powling, W. A. W. Smith. Combustion and Flame, 1962, **6**, 1, 21.
3. А. Ф. Беляев, А. И. Коротков, А. К. Парфенов, А. А. Сулимов. Ж. физ. химии, 1963, **37**, 1, 150.
4. А. П. Глазкова, И. А. Терешкин. Ж. физ. химии, 1961, **35**, 7, 1622.
5. Н. Н. Бахман, А. Ф. Беляев. Докл. АН СССР, 1960, **133**, 4, 866.
6. Н. Н. Бахман. Докл. АН СССР, 1961, **140**, 1, 141.
7. Н. Н. Бахман. Докл. АН СССР, 1959, **129**, 5, 1079.
8. Н. Н. Бахман, Д. П. Поликарпов. Изв. АН СССР, ОТН. Энергетика и автоматика, 1961, **4**, 37.
9. Б. В. Новожилов. Докл. АН СССР, 1960, **135**, 6, 1400.
10. П. Ф. Похил. О механизме горения бездымных порохов.— Сб. «Физика взрыва», Изд-во АН СССР, 1953, № 2.
11. Н. Н. Бахман, Ю. А. Кондрашков. Докл. АН СССР, 1962, **142**, 2, 377.